Révision: 12221

Date: 22/07/2014 Page: 1/10

Clé: V2.01.103

Titre : SDLD103 - Réponse sismique d'un système 3 masses e[...]

Responsable : Georges DEVESA

# SDLD103 - Réponse sismique d'un système 3 masses et 4 ressorts multi-supporté

# Résumé

Le problème consiste à analyser la réponse d'une structure mécanique de type poutre encastrée-encastrée et non amortie, modélisée par un système 3 masses et 4 ressorts et soumise à un chargement sismique quelconque.

On teste l'élément discret en traction et rotation, le calcul des modes propres et des modes statiques et le calcul de la réponse transitoire par superposition modale d'une structure soumise à un accélérogramme de translation (modélisation A) ou de rotation (modélisation B).

Dans la modélisation C, on teste la macro-commande MACR\_SPECTRE lorsque les supports voient une excitation différente aux appuis.

Les résultats obtenus sont en très bon accord avec les résultats de référence (résultats analytiques).

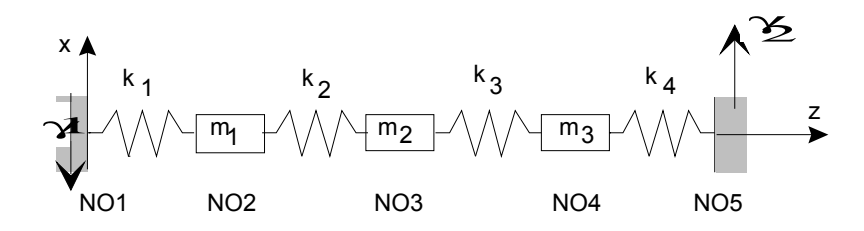
Titre: SDLD103 - Réponse sismique d'un système 3 masses e[...]

Date: 22/07/2014 Page: 2/10 Clé: V2.01.103 Révision: 12221 Responsable: Georges DEVESA

# Problème de référence

#### 1.1 Géométrie

La poutre est modélisée par un ensemble de 4 ressorts et de 3 masses ponctuelles.



## 1.2 Propriétés de matériaux

Raideur de liaison :  $k = k_1 = k_2 = k_3 = k_4 = 104 \ N/m$  ;

masse ponctuelle :  $m = m_1 = m_2 = m_3 = 10 \text{ kg}$ .

## Conditions aux limites et chargements 1.3

## Conditions aux limites :

Les seuls déplacements autorisés sont les translations selon l'axe x.

Les points NO1 et NO5 sont encastrés : dx = dy = dz = drx = dry = drz = 0.

Les autres points sont libres en translation selon la direction x: dy = dz = drx = dry = drz = 0.

## Chargement:

Les points d'ancrage NO1 et NO5 sont chacun soumis à une accélération transversale  $y_1(t)=at^2$  avec  $a=2.10^5 m/s^4$  en NOI et  $y_2(t)=0 m/s^2$  en NO5.

#### 1.4 **Conditions initiales**

Le système est au repos : à t=0, dx(0)=0, dx/dt(0)=0 en tout point.

Titre : SDLD103 - Réponse sismique d'un système 3 masses e[...]

Date: 22/07/2014 Page: 3/10 Clé: V2.01.103 Responsable: Georges DEVESA Révision: 12221

# Solution de référence

## 2.1 Méthode de calcul utilisée pour la solution de référence

Le problème consiste à calculer la réponse d'un système à cinq degrés de liberté soumis à deux accélérations  $\gamma_1(t)$  et  $\gamma_2(t)$  distinctes de forme quelconque. Il est exposé en détail dans la référence [bib2].

On calcule dans un premier temps les fréquences propres  $f_i$ , les vecteurs propres associés normalisés par rapport à la masse modale  $\, arPhi_{
m Ni} \,$  et les modes statiques  $\, arPhi \,$  du système (valeurs analytiques). On calcule ensuite la réponse généralisée du système multi-supporté en résolvant analytiquement l'intégrale de Duhamel [bib1]. Enfin, on restitue sur la base physique le vecteur des déplacements relatifs (sur les degrés de liberté actifs)  $X_r$  , ce qui nous permet, après avoir calculé le vecteur des déplacements d'entraînement  $X_e$ , de calculer le vecteur des déplacements absolus  $X_a = X_r + X_e$ .

#### 2.2 Résultats de référence

Calcul des trois fréquences propres  $\,f_{\,i}\,$ , des vecteurs propres associés normalisés par rapport à la masse modale  $\, arPhi_{
m N_{
m i}} \,$  et des modes statiques  $\, arPhi \,$  du système

$$\begin{cases} f_1 = \frac{1}{2\pi\sqrt{(2+\sqrt{2})m/2k}} = 3.85 \, Hz \\ f_2 = \frac{1}{2\pi\sqrt{m/2k}} = 7.12 \, Hz \\ f_3 = \frac{1}{2\pi\sqrt{(2-\sqrt{2})m/2k}} = 9.30 \, Hz \end{cases}, \Phi_N = \frac{1}{2\sqrt{m}} \begin{bmatrix} \frac{1}{\sqrt{2}} & -\sqrt{2} & -1 \\ \sqrt{2} & 0 & -\sqrt{2} \\ 1 & \sqrt{2} & 1 \end{bmatrix} \text{ et } \Psi = \frac{1}{4} \begin{bmatrix} 3 & 1 \\ 2 & 2 \\ 1 & 3 \end{bmatrix}.$$

Calcul de la réponse généralisée du système multi-supporté

L'équation fondamentale de la dynamique, dans le repère relatif sur les degrés de liberté actifs s'écrit :  $M\ddot{X_r} + KX_r = (M\Psi + M_{XS})\ddot{X_S}$  avec  $\ddot{X_S} = \begin{vmatrix} at^2 \\ 0 \end{vmatrix}$ , le vecteur des accélérations imposées au niveau des différents points d'ancrage.

L'équation du mouvement projetée sur la base des modes dynamiques normalisés par rapport à la masse modale  $\,\Phi_{\scriptscriptstyle N}\,$  s'écrit, en ne considérant que les degrés de liberté actifs :

$$\ddot{q}(t) + K_G q(t) = -\Phi_N^T M \Psi \ddot{X}_S = \frac{a \sqrt{m} t^2}{4} \begin{bmatrix} 2 + \sqrt{2} \\ \sqrt{2} \\ 2 - \sqrt{2} \end{bmatrix}$$

Titre : SDLD103 - Réponse sismique d'un système 3 masses e[...]

Date: 22/07/2014 Page: 4/10 Clé: V2.01.103 Responsable: Georges DEVESA Révision: 12221

La réponse de ce système linéaire, à un instant t, consiste alors à calculer l'intégrale de Duhamel :

$$q(t) = -\frac{a\sqrt{m^3}}{4k} \begin{bmatrix} (3+2\sqrt{2})(t^2+(2+\sqrt{2})(\cos\omega_1t-1)m/k) \\ (t^2+(\cos\omega_2t-1)m/k)/\sqrt{2} \\ (3-\sqrt{2})(t^2+(2-\sqrt{2})(\cos\omega_3t-1)m/k) \end{bmatrix}$$

Calcul du déplacement relatif aux degrés de liberté actifs :  $X_r = \sum_i \Phi_{\rm Ni} q_i$  soit :

$$X_{r} = -\frac{am}{8k} \begin{bmatrix} 7t^{2} + \left[ (10 + 7\sqrt{2}) \frac{m}{k} (\cos \omega_{1}t - 1) + (\cos \omega_{2}t - 1) + (10 - 7\sqrt{2}) (\cos \omega_{3}t - 1) \right] m/k \\ 8t^{2} + \left[ (10\sqrt{2} + 14) \frac{m}{k} (\cos \omega_{1}t - 1) + (-10\sqrt{2} + 14) (\cos \omega_{3}t - 1) \right] m/k \\ 5t^{2} + \left[ (10 + 7\sqrt{2}) \frac{m}{k} (\cos \omega_{1}t - 1) - (\cos \omega_{2}t - 1) + (10 - 7\sqrt{2}) (\cos \omega_{3}t - 1) \right] m/k \end{bmatrix}$$

- Calcul des déplacements d'entraı̂nement aux degrés de liberté actifs :  $X_e = \Psi X_s = a \frac{t^4}{48} \begin{vmatrix} 3 \\ 2 \\ 1 \end{vmatrix}$ .
- Calcul des déplacements absolus aux degrés de liberté actifs :  $X_a = X_r + X_e$ .

#### 2.3 Incertitude sur la solution

Aucune si l'on calcule l'intégrale de Duhamel analytiquement [bib1].

## 2.4 Références bibliographiques

- J.S. PRZEMIENIECKI: Theorie of matrix structural analysis. New York, Mac Graw-Hill, 1968, pages 351-357.
- Fe WAECKEL: Documentations utilisation et validation des développements réalisés pour calculer la réponse sismique de structures multi-supportées. HP-52/96/002

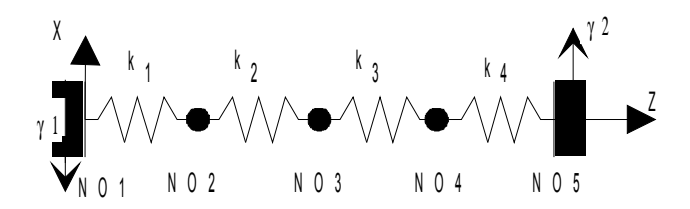
Titre : SDLD103 - Réponse sismique d'un système 3 masses e[...]

Date: 22/07/2014 Page: 5/10 Clé: V2.01.103 Révision: 12221 Responsable: Georges DEVESA

## Modélisation A 3

## 3.1 Caractéristiques de la modélisation

Les éléments sont modélisés par des éléments discrets à 3 degrés de liberté DIS T.



Le nœud NO1 est soumis à une accélération imposée  $\gamma_1(t)$ , le nœud NO5 à  $\gamma_2(t)$ . On calcule le déplacement relatif des nœuds NO2, NO3 et NO4 par rapport à leur déformée statique, leur déplacement d'entraînement et leur déplacement absolu.

L'intégration temporelle est réalisée avec les algorithmes d'Euler (pas de temps :  $10^{-3}$  seconde), de Devogelaere (pas de temps :  $10^{-3}$  seconde) et avec un algorithme à pas de temps adaptatif d'ordre 2.

## 3.2 Caractéristiques du maillage

Le maillage est constitué de 5 noeuds et de 4 éléments discrets (DIST T).

#### 3.3 Grandeurs testées et résultats

#### 3.3.1 Déplacements relatifs des nœuds NO2, NO3 et NO4

Déplacements relatifs du nœud NO2 avec les algorithmes d'intégration numérique d'Euler, Devogelaere, adaptatif d'ordre 2 et Runge-Kutta (32 et 54) :

| Temps (s) | Référence    |
|-----------|--------------|
| 0,1       | -8,47734E-01 |
| 0,3       | -1,55202E+01 |
| 0,5       | -4,36449E+01 |
| 0,7       | -8,50830E+01 |
| 1,0       | -1,74790E+02 |

Date: 22/07/2014 Page: 6/10

Titre : SDLD103 - Réponse sismique d'un système 3 masses e[...]

Responsable : Georges DEVESA Clé : V2.01.103 Révision : 12221

• Déplacements relatifs du nœud NO3 avec l'algorithme d'intégration numérique d'Euler :

| Temps (s) | Référence    |
|-----------|--------------|
| 0,01      | 9,87666E-10  |
| 0,02      | 2,49501E-07  |
| 0,03      | 6,25468E-06  |
| 0,04      | 6,05829E-05  |
| 0,05      | 3,47191E-04  |
| 0,06      | 1,42349E-03  |
| 0,07      | 4,62144E-03  |
| 0,08      | 1,26245E-02  |
| 0,09      | 3,01825E-02  |
| 0,1       | -7,68449E-01 |
| 0,3       | -1,76923E+01 |
| 0,5       | -4,99310E+01 |
| 0,7       | -9,70711E+01 |
| 1,0       | -1,99722E+02 |

• Déplacements relatifs du nœud NO3 avec les algorithmes d'intégration numérique de Devogelaere, adaptatif d'ordre 2 et Runge-Kutta (54 et 32) :

| Temps (s) | Référence    |
|-----------|--------------|
| 0,1       | -7,68449E-01 |
| 0,3       | -1,76923E+01 |
| 0,5       | -4,99310E+01 |
| 0,7       | -9,70711E+01 |
| 1.0       | -1.99722F+02 |

• Déplacements relatifs du nœud NO4 avec l'algorithme d'intégration numérique d'Euler, Devogelaere, adaptatif d'ordre 2 et Runge-Kutta (54 et 32) :

| Temps (s) | Référence    |
|-----------|--------------|
| 0,1       | -4,09632E-01 |
| 0,3       | -1,10372E+01 |
| 0,5       | -3,12415E+01 |
| 0,7       | -6,05833E+01 |
| 1,0       | -1,24803E+02 |

# 3.3.2 Déplacements absolus des nœuds NO2, NO3 et NO4

• Déplacements absolus du nœud NO2 avec l'algorithme d'intégration numérique d'Euler, Devogelaere, adaptatif d'ordre 2 et Runge-Kutta (54 et 32) :

| Temps (s) | Référence   |
|-----------|-------------|
| 0,1       | 4,02266E-01 |
| 0,3       | 8,57298E+01 |
| 0,5       | 7,37605E+02 |
| 0,7       | 2,91617E+03 |
| 1,0       | 1,23252E+04 |

Révision: 12221

Date: 22/07/2014 Page: 7/10

Clé: V2.01.103

Titre : SDLD103 - Réponse sismique d'un système 3 masses e[...] Responsable : Georges DEVESA

• Déplacements absolus du nœud NO3 avec l'algorithme d'intégration numérique d'Euler , Devogelaere, adaptatif d'ordre 2 et Runge-Kutta (54 et 32):

| Temps (s) | Référence   |
|-----------|-------------|
| 0,1       | 6,48847E-02 |
| 0,3       | 4,98077E+01 |
| 0,5       | 4,70902E+02 |
| 0,7       | 1,90376E+03 |
| 1.0       | 8.13361E+03 |

• Déplacements absolus du nœud NO4 avec l'algorithme d'intégration numérique d'Euler , Devogelaere, adaptatif d'ordre 2 et Runge-Kutta (54 et 32):

| Temps (s) | Référence   |
|-----------|-------------|
| 0,1       | 7,03506E-03 |
| 0,3       | 2,27128E+01 |
| 0,5       | 2,29175E+02 |
| 0,7       | 9,39833E+02 |
| 1,0       | 4,04186E+03 |

Titre: SDLD103 - Réponse sismique d'un système 3 masses e[...]

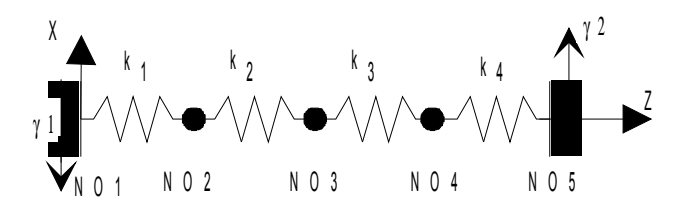
Date: 22/07/2014 Page: 8/10 Responsable: Georges DEVESA Clé: V2.01.103 Révision: 12221

#### Modélisation B 4

C'est la même modélisation que la précédente à l'exception du chargement qui est un accélérogramme de rotation.

## Caractéristiques de la modélisation 4.1

Les éléments sont modélisés par des éléments discrets à 3 degrés de liberté DIS T.



Le nœud NOI est soumis à une accélération imposée  $\gamma_1(t)$  , le nœud NO5 à  $\gamma_2(t)$  . On calcule le déplacement relatif des nœuds NO2, NO3 et NO4 par rapport à leur déformée statique, leur déplacement d'entraînement et leur déplacement absolu.

L'intégration temporelle est réalisée avec l'algorithme d'Euler (pas de temps :  $10^{-3}$  seconde).

## 4.2 Caractéristiques du maillage

Le maillage est constitué de 5 noeuds et de 4 éléments discrets (DIST\_TR).

#### 4.3 Grandeurs testées et résultats

#### 4.3.1 Déplacements relatifs des nœuds NO2, NO3 et NO4

Déplacements relatifs du nœud NO2 :

| Temps (s) | Référence    |
|-----------|--------------|
| 0,1       | -8,47734E-01 |
| 0,3       | -1,55202E+01 |
| 0,5       | -4,36449E+01 |
| 0,7       | -8,50830E+01 |
| 1.0       | -1,74790E+02 |

Déplacements relatifs du nœud NO3:

| Temps (s) | Référence    |
|-----------|--------------|
| 0,1       | -7,68449E-01 |
| 0,3       | -1,76923E+01 |
| 0,5       | -4,99310E+01 |
| 0,7       | -9,70711E+01 |
| 1,0       | -1,99722E+02 |

Titre : SDLD103 - Réponse sismique d'un système 3 masses e[...]

Responsable : Georges DEVESA

Date : 22/07/2014 Page : 9/10
Clé : V2.01.103 Révision : 12221

• Déplacements relatifs du nœud NO4 :

| Temps (s) | Référence    |
|-----------|--------------|
| 0,1       | -4,09632E-01 |
| 0,3       | -1,10372E+01 |
| 0,5       | -3,12415E+01 |
| 0,7       | -6,05833E+01 |
| 1.0       | -1.24803E+02 |

# 4.3.2 Déplacements absolus des nœuds NO2, NO3 et NO4

• Déplacements absolus du nœud NO2:

| Temps (s) | Référence   |
|-----------|-------------|
| 0,1       | 4,02266E-01 |
| 0,3       | 8,57298E+01 |
| 0,5       | 7,37605E+02 |
| 0,7       | 2,91617E+03 |
| 1.0       | 1,23252E+04 |

• Déplacements absolus du nœud NO3:

| Temps (s) | Référence   |
|-----------|-------------|
| 0,01      | 9,87666E-10 |
| 0,02      | 2,49501E-07 |
| 0,03      | 6,25468E-06 |
| 0,04      | 6,05829E-05 |
| 0,05      | 3,47191E-04 |
| 0,06      | 1,42349E-03 |
| 0,07      | 4,62144E-03 |
| 0,08      | 1,26245E-02 |
| 0,09      | 3,01825E-02 |
| 0,10      | 6,48847E-02 |
| 0,30      | 4,98077E+01 |
| 0,50      | 4,70902E+02 |
| 0,70      | 1,90376E+03 |
| 1,0       | 8,13361E+03 |

• Déplacements absolus du nœud NO4:

| Temps (s) | Référence   |
|-----------|-------------|
| 0,1       | 7,03506E-03 |
| 0,3       | 2,27128E+01 |
| 0,5       | 2,29175E+02 |
| 0,7       | 9,39833E+02 |
| 1,0       | 4,04186E+03 |

5

Titre : SDLD103 - Réponse sismique d'un système 3 masses e[...]

Responsable : Georges DEVESA

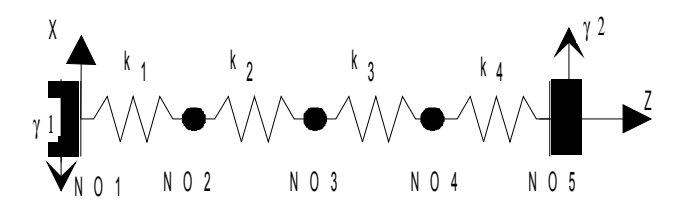
Date : 22/07/2014 Page : 10/10
Clé : V2.01.103 Révision : 12221

# 6 Modélisation C

C'est la même modélisation que la précédente, le chargement est identique au chargement de la modélisation A.

# 6.1 Caractéristiques de la modélisation

Les éléments sont modélisés par des éléments discrets à 3 degrés de liberté DIS T.



Le nœud NOI est soumis à une accélération imposée  $\gamma_1(t)$ , le nœud NO5 à  $\gamma_2(t)$ . L'intégration temporelle est réalisée avec l'algorithme d'Euler (pas de temps :  $10^{-3}$  seconde).

On calcule le spectre enveloppe de l'accélération absolue des nœuds NO2, NO3 et NO4. Ce calcul peut se faire soit à l'aide d'un enchainement de commande RECU\_FONCTION et CALC\_FONCTION soit à l'aide de la macro-commande MACR\_SPECTRE qui fait appel à ces mêmes commandes.

# 6.2 Caractéristiques du maillage

Le maillage est constitué de 5 noeuds et de 4 éléments discrets (DIST\_TR).

# 6.3 Grandeurs testées et résultats

# 6.3.1 Accélération absolue enveloppe des nœuds NO2, NO3 et NO4

Accélération enveloppe:

| Fréquence (Hz) | Référence |
|----------------|-----------|
| 0,1            | 483.65    |
| 0,3            | 3840,04   |
| 0,52           | 9016,62   |

# 7 Synthèse des résultats

Les résultats obtenus pour les modélisations A et B avec *Code\_Aster* sont conformes aux résultats de référence (l'erreur est en générale inférieure à 0,03%).